

Рис. XIV-13. Зависимость коэффициента фракционной степени очистки газа в циклонах ЦН-15 от диаметра частиц d (при $D=600$ мм, $\rho_c=1930$ кг/м³, $\Delta p/\rho_r = = 75$ м и начальной концентрации пыли 1,7 г/м³)

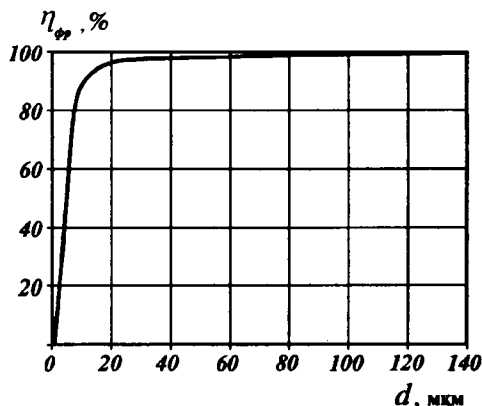
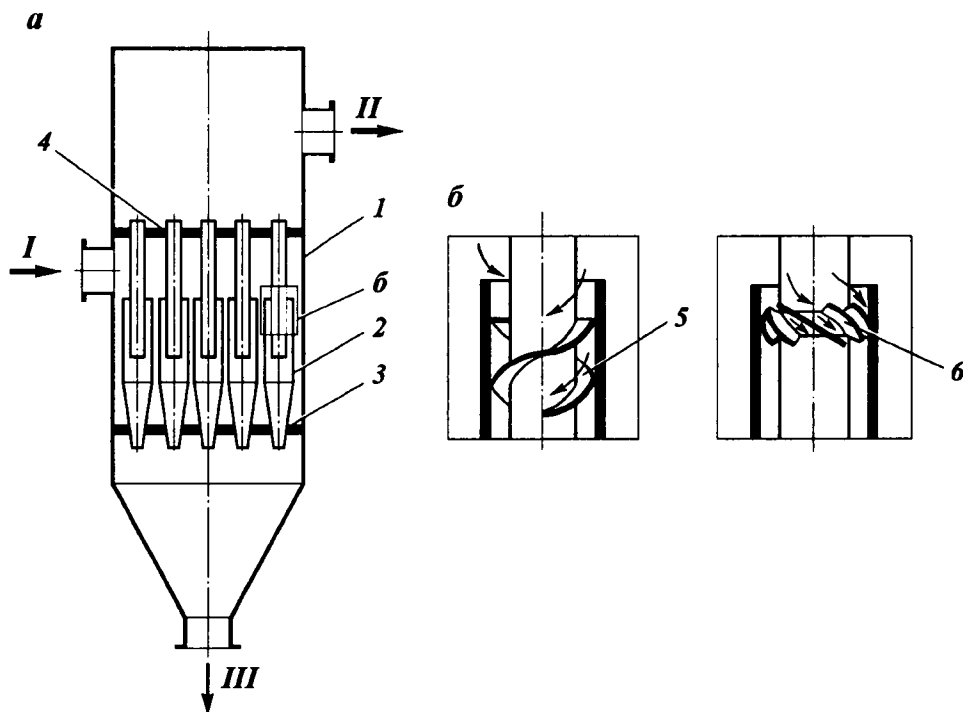


Рис. XIV-14. Конструкция батарейного циклона:

a — продольный разрез; b — конструкции закручивающих устройств; I — корпус; 2 — циклонные элементы; 3 , 4 — трубные решетки; 5 — винтовая лента; 6 — лопастная розетка. Поток: I — запыленный газ; II — очищенный газ; III — уловленные частицы



форме винтовой ленты 5 или лопастной розетки 6. Запыленный газ поступает в среднюю часть камеры и входит во все корпуса циклонов параллельно, получая вращение благодаря винтовым лопастям. Осажденная в поле центробежной силы пыль спускается из всех корпусов циклонов в нижний бункер, а очищенный газ, повернув вверх, выходит по выхлопным трубам, вновь соединяется в верхней части камеры и направляется дальше по назначению через выходной патрубок.

В одной общей камере можно поместить примерно до 100–120 циклонных элементов. При большом их числе камеру разделяют вертикальными стенками на параллельно работающие отсеки с самостоятельными входами и выходами газа и отдельными бункерами для пыли.